



Laboratorium EMVO Sp. J. Urbański, Pawelak

ul. Jasna 1
00-013 Warszawa

tel. +48 22 780 29 64

e-mail: laboratorium@emvo.pl



AB 1630

Sprawozdanie z pomiarów pól elektromagnetycznych - środowisko ogólne nr 133/04/OŚ/2021 - P4 - W



Nr i nazwa stacji	MLA4401	
Adres	Strzegowo, ul. Słowackiego 32, pow. mławski, woj. mazowieckie	
Opracowanie	Marcin Belicki	Specjalista ds. pomiarów
Autoryzacja	Andrzej Urbański	Kierownik Laboratorium
Podpis		
Data	2021-05-05	

Spis treści

1. Informacje ogólne.....	3
2. Podstawa prawna.	3
3. Opis pomiarów.....	3
4. Zróżnicowanie dopuszczalne poziomy pól elektromagnetycznych.	5
5. Charakterystyka źródeł PEM.....	5
6. Wyniki pomiarów.....	6
7. Stwierdzenie zgodności	8
8. Oświadczenie.....	8
9. Spis załączników.	9

1. Informacje ogólne.

Zleceniodawca	P4 sp. z o.o., ul. Wynałazek 1, 02-677 Warszawa osoba udzielająca informacji – Monika Jankowska
Istotne informacje dostarczone przez klienta	komplet informacji niezbędnych do wykonania pomiarów i opracowania sprawozdania
Dane otrzymane od klienta mogące mieć wpływ na ważność wyników	Dane anten sektorowych, dane anten radioliniowych, parametry pracy instalacji, poprawka pomiarowa, ustawienie pochylenia anten
Prowadzący instalację	P4 sp. z o.o., ul. Wynałazek 1, 02-677 Warszawa
Lokalizacja obiektu	Strzegowo, ul. Słowackiego 32, pow. mławski, woj. mazowieckie
Miejsce instalacji anten	stalowa wieża kratowa
Miejsce instalacji urządzeń	outdoor
Osoby wykonujące pomiar	Roman Murawski
Data wykonania pomiaru	2021-05-05
Temperatura na początku pomiaru [°C]	12
Temperatura na koniec pomiaru [°C]	12
Warunki atmosferyczne	Brak opadów.
Wilgotność na początku pomiaru [%]	52
Wilgotność na koniec pomiaru [%]	53
Inne źródła pól elektromagnetycznych oznaczone na załączniku graficznym	brak
Parametry pracy instalacji	eksploatacyjne

2. Podstawa prawna.

2.1 Normy i rozporządzenia:

- Rozporządzeniem Ministra Klimatu z dnia 17 lutego 2020 r. w sprawie sposobów sprawdzania dotrzymania dopuszczalnych poziomów pól elektromagnetycznych w środowisku (Dz.U. 2020 poz. 258)
- Rozporządzenie Ministra Zdrowia z dnia 17 grudnia 2019 r. w sprawie dopuszczalnych poziomów pól elektromagnetycznych w środowisku (Dz.U. 2019 poz. 2448)
- Obwieszczenie Marszałka Sejmu Rzeczypospolitej Polskiej z dnia 19 lipca 2019 r. w sprawie ogłoszenia jednolitego tekstu ustawy - Prawo ochrony środowiska (Dz.U. 2019 poz. 1396).

3. Opis pomiarów.

Metodologia pomiarowa	Pomiary w oparciu o Rozporządzeniem Ministra Klimatu z dnia 17 lutego 2020 r. w sprawie sposobów sprawdzania dotrzymania dopuszczalnych poziomów pól elektromagnetycznych w środowisku (Dz.U. 2020 poz. 258).
Cel badań	Określenie wartości natężenia pola elektrycznego w miejscach dostępnych dla ludności.
Opis zestawu pomiarowego	Miernik Narda NBM 550, Sonda EF 9091, o zakresie pomiarowym 0,8 V/m - 300 V/m pracująca w paśmie 0,1 – 90 GHz, świadectwo wydane przez Laboratorium Wzorców i Metrologii Pola Elektromagnetycznego, Instytut Telekomunikacji,

	<p>Teleinformatyki i Akustyki Politechniki Wrocławskiej. Świadectwo ważne do 01.06.2022r.</p> <p>Miernik Narda NBM 550, Sonda EF 9091 pracuje w zakresie temperatury -10°C - +50°C oraz wilgotności 5% - 95%</p>
Wyposażenie pomocnicze	<p>Niepewność rozszerzona wynosi 58,8% przy poziomie ufności 95% z uwzględnieniem współczynnika rozszerzenia k=2.</p> <p>Termohigrometr Bestone, typ: GM1362-EN-00, nr identyfikacyjny 1222436, świadectwo wzorcowania z dn. 22.12.2015 r. wydane przez Laboratorium Pomiarowe "MUTECH".</p> <p>Przymiar wstępowy STABILA, nr identyfikacyjny 5/WL/2016, świadectwo wzorcowania z dn. 06.09.2016 r. wydane przez Zespół Laboratoriów wzorcujących Okręgowego Urzędu Miar w Gdańsku.</p> <p>GPS Garmin 64s okresowo sprawdzany w punktach osnowy geodezyjnej klasy 3 na podstawie licencji punktu, zgodnie z procedurą sprawdzeń okresowych IS/PO-16-11/03.</p>
Pomiary zostały wykonane	<ol style="list-style-type: none"> 1. na głównych i pomocniczych kierunkach pomiarowych, na kierunkach zbliżonych do azymutów anten oraz w dodatkowych pionach pomiarowych zgodnie z wymaganiami pkt 12, 13, 14 i 19 załącznika do rozporządzenia Ministra Klimatu z dnia 17 lutego 2020 r. (Dz. U. 2020, poz. 258), 2. na obszarze pomiarowym, dla którego, na podstawie uprzednio wykonanych obliczeń uzyskanych od zleceniodawcy, stwierdzono możliwość występowania pól elektromagnetycznych o poziomach zbliżonych do poziomów dopuszczalnych zgodnie z wymaganiami pkt 5 ppkt 2 oraz pkt 13 ppkt 1 załącznika do rozporządzenia Ministra Klimatu z dnia 17 lutego 2020 r. (Dz. U. 2020, poz. 258). Wyniki obliczeń nie uwzględniały parametrów pracy instalacji innych operatorów występujących na obiekcie bądź w obszarze pomiarowym. 3. w miejscach dostępnych dla ludności. 4. miejsca niedostępne podczas wykonywania pomiarów wskazane zostały w pkt 6 (tabeli wyniki pomiarów) 5. wyniki pomiarów uzyskane zostały przy uwzględnieniu poprawek pomiarowych przekazanych przez zleceniodawcę oraz przy rzeczywistych warunkach pracy instalacji innych operatorów (w przypadku występowania). W takiej sytuacji uwzględniono jednolitą poprawkę pomiarową wynoszącą 1,70
Szczególne warunki podczas wykonywania pomiarów	<p>Pomiary wykonane zostały podczas obowiązywania w kraju stanu epidemii, zgodnie z art. 122a ust. 1b Ustawy z dnia 27 kwietnia 2001 r. – Prawo ochrony środowiska (Dz. U. z 2019 r. poz. 1396, z późn. zm.9))</p>
Warunki pracy urządzeń nadawczych	<p>Podczas pomiarów zostały uwzględnione poprawki pomiarowe przekazane przez zleceniodawcę, umożliwiające uwzględnienie maksymalnych parametrów pracy instalacji zgodnie z pkt 7 załącznika do Rozporządzeniem Ministra Klimatu z dnia 17 lutego 2020 r. w sprawie sposobów sprawdzania dotrzymania dopuszczalnych poziomów pól elektromagnetycznych w środowisku (Dz. U. 2020, poz. 258).</p>

4. Zróźnicowanie dopuszczalne poziomy pól elektromagnetycznych.

Zakresy znajdują się w Dzienniku Ustaw z dnia 17 grudnia 2019 r. przedstawione są w tabeli nr 2 (Dz. U. z 2019r. poz. 2448).

Parametr fizyczny Zakres Częstotliwości pola elektromagnetycznego	Składowa elektryczna E (V/m)	Składowa magnetyczna H (A/m)	Gęstość mocy S (W/m ²)
od 400 MHz do 2000 MHz	$1,375 \times f^{0,5}$	$0,0037 \times f^{0,5}$	$f / 200$
od 2 GHz do 300 GHz	61	0,16	10

5. Charakterystyka źródeł PEM.

Zgodnie z informacją otrzymaną od Klienta pomiary zostały wykonane przy ustawieniach pochylenia anten zgodnych z pkt. 13, ppkt 2 załącznika do rozporządzenia Ministra Klimatu z dnia 17 lutego 2020 roku.

Anteny sektorowe - dane otrzymane od klienta

Charakterystyka promieniowania		kierunkowa				
Rzeczywisty czas pracy [h/dobę]		24				
Rodzaj wytwarzanego pola		stacjonarne				
Lp	Wyszczególnienie	sektor 1				
I						
Nadajnik stacji bazowej:						
1	Typ / Producent	DBS / Huawei				
2	Częstotliwość (pasmo) MHz	2600	800	2100	1800	900
3	Maksymalna moc nadawana na sektor [dBm]	49,03	46,02	49,03	50,79	46,02
II						
Obciążenie:						
1	Typ anteny	Huawei ADU4518R8	Kathrein 742213	Kathrein 742213	Kathrein 80010306	
2	Producent anteny	Huawei	Kathrein	Kathrein	Kathrein	
3	Ilość anten	1	1	1	1	
4	Azymut	120				
5	Zakres kątów pochylenia anten [°]	2,00-10,00	0,00-10,00	0,00-6,00	0,00-6,00	0,50-9,50
6	Wysokość zainst. n.p.t. [m]	40,50				
7	EIRP [W]	6869	5906	8896	1948	

Charakterystyka promieniowania		kierunkowa				
Rzeczywisty czas pracy [h/dobę]		24				
Rodzaj wytwarzanego pola		stacjonarne				
Lp	Wyszczególnienie	sektor 2				
I						
Nadajnik stacji bazowej:						
1	Typ / Producent	DBS / Huawei				
2	Częstotliwość (pasmo) MHz	2600	800	1800	2100	900
3	Maksymalna moc nadawana na sektor [dBm]	49,03	46,02	49,03	50,79	46,02
II						
Obciążenie:						
1	Typ anteny	Huawei ADU4518R8	Kathrein 742213	Kathrein 742213	Kathrein 80010306	
2	Producent anteny	Huawei	Kathrein	Kathrein	Kathrein	
3	Ilość anten	1	1	1	1	
4	Azymut	230				
5	Zakres kątów pochylenia anten [°]	2,00-10,00	0,00-10,00	0,00-6,00	0,00-6,00	0,50-9,50
6	Wysokość zainst. n.p.t. [m]	40,50				
7	EIRP [W]	6869	5906	8859	1948	

Charakterystyka promieniowania		kierunkowa				
Rzeczywisty czas pracy [h/dobę]		24				
Rodzaj wytwarzanego pola		stacjonarne				
Wyszczególnienie		sektor 3				
I		Nadajnik stacji bazowej:				
1 Typ / Producent		DBS / Huawei				
2 Częstotliwość (pasmo) MHz		2600	800	2100	1800	900
3 Maksymalna moc nadawana na sektor [dBm]		49,03	46,02	49,03	50,79	46,02
II		Obciążenie:				
1 Typ anteny		Huawei ADU4518R8	Kathrein 742213	Kathrein 742213	Kathrein 80010306	
2 Producent anteny		Huawei	Kathrein	Kathrein	Kathrein	
3 Ilość anten		1	1	1	1	
4 Azymut		350				
5 Zakres kątów pochylenia anten [°]		2,00-10,00	0,00-10,00	0,00-6,00	0,00-6,00	0,50-9,50
6 Wysokość zainst. n.p.t. [m]		40,50				
7 EIRP [W]		6869	5906	8896	1948	

Anteny radioliniowe - dane otrzymane od klienta

Charakterystyka promieniowania		kierunkowa						
Rzeczywisty czas pracy [h/dobę]		24						
Rodzaj wytwarzanego pola		stacjonarne						
Lp		Linia radiowa			Antena			
	typ/producent	częstotliwość pracy [GHz]	moc wyjściowa [dBm]	typ/producent	średnica anteny [m]	azymut [°]	wysokość zainstal. [m]	
1	OPTIX RTN/HUAWEI	13	29	VHLPX4-13/Andrew	1,2	101	38,50	
2	OPTIX RTN/HUAWEI	18	28,5	VHLPX2-18/Andrew	0,6	221	38,50	
3	OPTIX RTN/HUAWEI	23	21	A23D06/Huawei	0,6	250	38,50	

6. Wyniki pomiarów.

Wyniki pomiarów pól elektromagnetycznych dla celów ochrony środowiska przedstawia poniższa tabela. Piony pomiarowe zostały przedstawione w zał. 2.

Nr PP	Pole-E [V/m]	Pole-E*kE,+U [V/m]	Pole-H [A/m]	Pole-H*kE,+U [A/m]	Wys. pomiaru [m]	Opis pionu	Uwagi	WME	WMH
1	1,1	2,97	0,003	0,008	1,8	N: 52° 53' 38,6" E: 20° 17' 42,8"	otoczenie stacji nadawczej - ok. 50 m od obiektu wzdłuż gł. osi promieniowania - GKP	0,076	0,075
2	1,0	2,70	0,003	0,007	1,5	N: 52° 53' 37,7" E: 20° 17' 45,1"	otoczenie stacji nadawczej - ok. 100 m od obiektu wzdłuż gł. osi promieniowania - GKP	0,069	0,068
3	<0,8*	<2,16	<0,003	<0,006	0,3 - 2,0	N: 52° 53' 36,9" E: 20° 17' 47,4"	otoczenie stacji nadawczej - ok. 150 m od obiektu wzdłuż gł. osi promieniowania - GKP	<0,056	<0,055
4	<0,8*	<2,16	<0,003	<0,006	0,3 - 2,0	N: 52° 53' 36,1" E: 20° 17' 49,7"	otoczenie stacji nadawczej - ok. 200 m od obiektu wzdłuż gł. osi promieniowania - GKP	<0,056	<0,055
5	0,8	2,16	0,002	0,006	1,4	N: 52° 53' 35,2" E: 20° 17' 52"	otoczenie stacji nadawczej - ok. 250 m od obiektu wzdłuż gł. osi promieniowania - GKP	0,056	0,055
6	1,2	3,24	0,003	0,009	1,2	N: 52° 53' 34,4" E: 20° 17' 54,3"	otoczenie stacji nadawczej - ok. 300 m od obiektu wzdłuż gł. osi promieniowania - GKP	0,083	0,082
7	<0,8*	<2,16	<0,003	<0,006	0,3 - 2,0	N: 52° 53' 33,6" E: 20° 17' 56,6"	otoczenie stacji nadawczej - ok. 350 m od obiektu wzdłuż gł. osi promieniowania - GKP	<0,056	<0,055
8	<0,8*	<2,16	<0,003	<0,006	0,3 - 2,0	N: 52° 53' 32,7" E: 20° 17' 58,9"	otoczenie stacji nadawczej - ok. 400 m od obiektu wzdłuż gł. osi promieniowania - GKP	<0,056	<0,055
9	<0,8*	<2,16	<0,003	<0,006	0,3 - 2,0	N: 52° 53' 31,9" E: 20° 18' 1,2"	otoczenie stacji nadawczej - ok. 450 m od obiektu wzdłuż gł. osi promieniowania - GKP	<0,056	<0,055
10	1,2	3,24	0,003	0,009	1,9	N: 52° 53' 38,4" E: 20° 17' 38,4"	otoczenie stacji nadawczej - ok. 50 m od obiektu wzdłuż gł. osi promieniowania - GKP	0,083	0,082
11	0,8	2,16	0,002	0,006	1,9	N: 52° 53' 37,4" E: 20° 17' 36,4"	otoczenie stacji nadawczej - ok. 100 m od obiektu wzdłuż gł. osi promieniowania - GKP	0,056	0,055
12	1,1	2,97	0,003	0,008	1,8	N: 52° 53' 36,3" E: 20° 17' 34,3"	otoczenie stacji nadawczej - ok. 150 m od obiektu wzdłuż gł. osi promieniowania - GKP	0,076	0,075
13	1,0	2,70	0,003	0,007	1,5	N: 52° 53' 35,5" E: 20° 17' 32"	otoczenie stacji nadawczej - ok. 200 m od obiektu wzdłuż gł. osi promieniowania - GKP	0,069	0,068
14	1,1	2,97	0,003	0,008	1,5	N: 52° 53' 34,1" E: 20° 17' 30,5"	otoczenie stacji nadawczej - ok. 250 m od obiektu wzdłuż gł. osi promieniowania - GKP	0,076	0,075
15	1,2	3,24	0,003	0,009	1,3	N: 52° 53' 33,3" E: 20° 17' 29"	otoczenie stacji nadawczej - ok. 300 m od obiektu wzdłuż gł. osi promieniowania - GKP	0,083	0,082
16	1,1	2,97	0,003	0,008	1,5	N: 52° 53' 32,3" E: 20° 17' 25,7"	otoczenie stacji nadawczej - ok. 350 m od obiektu wzdłuż gł. osi promieniowania - GKP	0,076	0,075

„Bez pisemnej zgody Laboratorium niniejsze sprawozdanie nie może być powielane inaczej, jak tylko w całości. Ponadto wyniki dotyczą tylko badanych obiektów przywołanych w niniejszym sprawozdaniu z badań”

17	1,1	2,97	0,003	0,008	1,2	N: 52° 53' 31,1" E: 20° 17' 24"	otoczenie stacji nadawczej - ok. 400 m od obiektu wzdłuż gł. osi promieniowania - GKP	0,076	0,075
18	1,1	2,97	0,003	0,008	1,5	N: 52° 53' 30,5" E: 20° 17' 22,3"	otoczenie stacji nadawczej - ok. 450 m od obiektu wzdłuż gł. osi promieniowania - GKP	0,076	0,075
19	1,0	2,70	0,003	0,007	1,4	N: 52° 53' 40,8" E: 20° 17' 39,4"	otoczenie stacji nadawczej - ok. 50 m od obiektu wzdłuż gł. osi promieniowania - GKP	0,069	0,068
20	<0,8*	<2,16	<0,003	<0,006	0,3 - 2,0	N: 52° 53' 42,6" E: 20° 17' 39,7"	otoczenie stacji nadawczej - ok. 100 m od obiektu wzdłuż gł. osi promieniowania - GKP	<0,056	<0,055
21	<0,8*	<2,16	<0,003	<0,006	0,3 - 2,0	N: 52° 53' 44,2" E: 20° 17' 39,3"	otoczenie stacji nadawczej - ok. 150 m od obiektu wzdłuż gł. osi promieniowania - GKP	<0,056	<0,055
22	0,9	2,43	0,002	0,006	1,3	N: 52° 53' 45,8" E: 20° 17' 38,4"	otoczenie stacji nadawczej - ok. 200 m od obiektu wzdłuż gł. osi promieniowania - GKP	0,062	0,062
23	1,2	3,24	0,003	0,009	1,4	N: 52° 53' 47,4" E: 20° 17' 38,3"	otoczenie stacji nadawczej - ok. 250 m od obiektu wzdłuż gł. osi promieniowania - GKP	0,083	0,082
24	1,1	2,97	0,003	0,008	1,4	N: 52° 53' 49" E: 20° 17' 38"	otoczenie stacji nadawczej - ok. 300 m od obiektu wzdłuż gł. osi promieniowania - GKP	0,076	0,075
25	1,2	3,24	0,003	0,009	1,9	N: 52° 53' 50,6" E: 20° 17' 37,6"	otoczenie stacji nadawczej - ok. 350 m od obiektu wzdłuż gł. osi promieniowania - GKP	0,083	0,082
26	1,4	3,78	0,004	0,010	1,8	N: 52° 53' 52,2" E: 20° 17' 37,2"	otoczenie stacji nadawczej - ok. 400 m od obiektu wzdłuż gł. osi promieniowania - GKP	0,097	0,096
27	1,3	3,51	0,003	0,009	1,9	N: 52° 53' 53,8" E: 20° 17' 36,8"	otoczenie stacji nadawczej - ok. 450 m od obiektu wzdłuż gł. osi promieniowania - GKP	0,090	0,089
28	0,9	2,43	0,002	0,006	1,3	N: 52° 53' 39,1" E: 20° 17' 43,1"	otoczenie stacji nadawczej - ok. 50 m od obiektu wzdłuż gł. osi promieniowania - GKP	0,062	0,062
29	0,8	2,16	0,002	0,006	1,8	N: 52° 53' 38,7" E: 20° 17' 45,8"	otoczenie stacji nadawczej - ok. 100 m od obiektu wzdłuż gł. osi promieniowania - GKP	0,056	0,055
30	0,9	2,43	0,002	0,006	1,5	N: 52° 53' 38,4" E: 20° 17' 48,4"	otoczenie stacji nadawczej - ok. 150 m od obiektu wzdłuż gł. osi promieniowania - GKP	0,062	0,062
31	0,9	2,43	0,002	0,006	1,6	N: 52° 53' 37,9" E: 20° 17' 39,3"	otoczenie stacji nadawczej - ok. 50 m od obiektu wzdłuż gł. osi promieniowania - GKP	0,062	0,062
32	1,2	3,24	0,003	0,009	1,7	N: 52° 53' 36,9" E: 20° 17' 37,1"	otoczenie stacji nadawczej - ok. 100 m od obiektu wzdłuż gł. osi promieniowania - GKP	0,083	0,082
33	1,3	3,51	0,003	0,009	1,4	N: 52° 53' 35,8" E: 20° 17' 35,2"	otoczenie stacji nadawczej - ok. 150 m od obiektu wzdłuż gł. osi promieniowania - GKP	0,090	0,089
34	1,1	2,97	0,003	0,008	1,7	N: 52° 53' 39,3" E: 20° 17' 37,8"	otoczenie stacji nadawczej - ok. 50 m od obiektu wzdłuż gł. osi promieniowania - GKP	0,076	0,075
35	1,3	3,51	0,003	0,009	1,3	N: 52° 53' 38,4" E: 20° 17' 35,5"	otoczenie stacji nadawczej - ok. 100 m od obiektu wzdłuż gł. osi promieniowania - GKP	0,090	0,089
36	1,2	3,24	0,003	0,009	1,6	N: 52° 53' 37,8" E: 20° 17' 32,9"	otoczenie stacji nadawczej - ok. 150 m od obiektu wzdłuż gł. osi promieniowania - GKP	0,083	0,082
37	1,3	3,51	0,003	0,009	1,8	N: 52° 53' 42,3" E: 20° 17' 38"	otoczenie stacji nadawczej - PKP	0,090	0,089
38	1,2	3,24	0,003	0,009	1,9	N: 52° 53' 44,1" E: 20° 17' 37,9"	otoczenie stacji nadawczej - PKP	0,083	0,082
39	0,9	2,43	0,002	0,006	1,8	N: 52° 53' 44,3" E: 20° 17' 41,3"	otoczenie stacji nadawczej - PKP	0,062	0,062
40	0,8	2,16	0,002	0,006	1,9	N: 52° 53' 42,7" E: 20° 17' 41"	otoczenie stacji nadawczej - PKP	0,056	0,055
41	<0,8*	<2,16	<0,003	<0,006	0,3 - 2,0	N: 52° 53' 40,6" E: 20° 17' 41,9"	otoczenie stacji nadawczej - PKP	<0,056	<0,055
42	0,9	2,43	0,002	0,006	2,0	N: 52° 53' 36,1" E: 20° 17' 46,5"	otoczenie stacji nadawczej - PKP	0,062	0,062
43	0,8	2,16	0,002	0,006	2,0	N: 52° 53' 37,2" E: 20° 17' 44,3"	otoczenie stacji nadawczej - PKP	0,056	0,055
44	0,9	2,43	0,002	0,006	1,6	N: 52° 53' 38" E: 20° 17' 41"	otoczenie stacji nadawczej - PKP	0,062	0,062
A	1,0	2,70	0,003	0,007	1,4	N: 52° 53' 41,4" E: 20° 17' 39,7"	ul. Słowackiego 32, pomiar przed budynkiem - DPP	0,069	0,068
A1	1,1	2,97	0,003	0,008	1,5	N: 52° 53' 38,5" E: 20° 17' 37,2"	Hala przemysłowa, pomiar przed budynkiem - DPP	0,076	0,075
B	1,1	2,97	0,003	0,008	1,5	N: 52° 53' 45,8" E: 20° 17' 39,4"	Hala przemysłowa, pomiar przed budynkiem - DPP	0,076	0,075
C	<0,8*	<2,16	<0,003	<0,006	0,3 - 2,0	N: 52° 53' 48,2" E: 20° 17' 39"	ul. Słowackiego 37B, pomiar przed budynkiem - DPP	<0,056	<0,055
D	1,1	2,97	0,003	0,008	1,6	N: 52° 53' 34,8" E: 20° 17' 30,3"	ul. Targowa 24, pomiar przed budynkiem - DPP	0,076	0,075

„Bez pisemnej zgody Laboratorium niniejsze sprawozdanie nie może być powielane inaczej, jak tylko w całości. Ponadto wyniki dotyczą tylko badanych obiektów przywołanych w niniejszym sprawozdaniu z badań”

E	1,2	3,24	0,003	0,009	1,7	N: 52° 53' 33,9" E: 20° 17' 28,7"	ul. 3 maja 7, pomiar przed budynkiem - DPP	0,083	0,082
F	1,1	2,97	0,003	0,008	1,7	N: 52° 53' 33,7" E: 20° 17' 29,6"	ul. 3 maja 9, pomiar przed budynkiem - DPP	0,076	0,075
G	1,0	2,70	0,003	0,007	1,4	N: 52° 53' 33,1" E: 20° 17' 27,5"	ul. 3 maja 8, pomiar przed budynkiem - DPP	0,069	0,068
H	1,1	2,97	0,003	0,008	1,3	N: 52° 53' 32,8" E: 20° 17' 28,8"	ul. 3 maja 10, pomiar przed budynkiem - DPP	0,076	0,075
I	1,3	3,51	0,003	0,009	1,3	N: 52° 53' 32,6" E: 20° 17' 26,5"	ul. Kredytowa 5, pomiar przed budynkiem - DPP	0,090	0,089
J	1,2	3,24	0,003	0,009	1,9	N: 52° 53' 32" E: 20° 17' 27,3"	ul. Kredytowa 7, pomiar przed budynkiem - DPP	0,083	0,082
K	1,3	3,51	0,003	0,009	1,2	N: 52° 53' 31,8" E: 20° 17' 24"	ul. Kredytowa 4, pomiar przed budynkiem - DPP	0,090	0,089
L	1,2	3,24	0,003	0,009	1,4	N: 52° 53' 49,5" E: 20° 17' 39"	ul. Słowackiego 37B, pomiar przed budynkiem - DPP	0,083	0,082
M	1,1	2,97	0,003	0,008	1,4	N: 52° 53' 51,1" E: 20° 17' 38,6"	ul. Słowackiego 37, pomiar przed budynkiem - DPP	0,076	0,075

wynik pomiaru pole - E [V/m] - maksymalna wartość chwilowa zmierzona w danych pionie pomiarowym

* poniżej czułości zestawu pomiarowego

GKP – główne kierunki pomiarowe

PKP – pomocnicze kierunki pomiarowe

DPP – dodatkowe punkty pomiarowe

PP – pion pomiarowy

U – niepewność pomiarowa dla współczynnika rozszerzenia $k=2$

k_E – poprawka pomiarowa badanej instalacji radiokomunikacyjnej podana przez operatora ($k_E=1,70$),

poprawka pomiarowa w przypadku oddziaływania innych instalacji radiokomunikacyjnych na badany obszar ($k_E=2,0$)

WME – wartość wskaźnikowa poziomu emisji pól elektromagnetycznych dla miejsc dostępnych dla ludności dla składowej elektrycznej pola

WMH – wartość wskaźnikowa poziomu emisji pól elektromagnetycznych dla miejsc dostępnych dla ludności dla składowej magnetycznej pola

Przyjęto najniższą dopuszczalną wartość składowej elektrycznej pola dla objętego pomiarami zakresu częstotliwości $\min(ME_{gr})= 38,8$ V/m oraz składowej magnetycznej $\min(MH_{gr})= 0,105$ A/m.

7. Stwierdzenie zgodności

Na podstawie wytycznych podanych w Rozporządzeniu Ministra Zdrowia z dnia 17 grudnia 2019 r. w sprawie dopuszczalnych poziomów pól elektromagnetycznych w środowisku (Dz.U. 2019 poz. 2448) oraz sposobów sprawdzania dotrzymania tych poziomów zgodnie z Rozporządzeniem Ministra Klimatu z dnia 17 lutego 2020 r. w sprawie sposobów sprawdzania dotrzymania dopuszczalnych poziomów pól elektromagnetycznych w środowisku (Dz.U. 2020 poz. 258) dotyczących źródła wymagań, które muszą być spełnione (załącznik do rozporządzenia Ministra Klimatu z dnia 17 lutego 2020 r. (poz. 258)), w oparciu o zasadę podejmowania decyzji zgodną z pkt 26 załącznika do rozporządzenia Ministra Klimatu z dnia 17 lutego 2020 r. (poz. 258), na podstawie wyników pomiarów pól elektromagnetycznych wykonanych w dniu 05.05.2021r. stwierdzono, iż w miejscach dostępnych dla ludności, dopuszczalne poziomy pól elektromagnetycznych w środowisku, określone w przepisach wydanych na podstawie art. 122 ust. 1 ustawy z dnia 27 kwietnia 2001 r. – Prawo ochrony środowiska, uznaje się za dotrzymane w obszarze pomiarowym, w którym w wyniku zastosowania sposobu sprawdzenia dotrzymania dopuszczalnych poziomów pól elektromagnetycznych w środowisku, udokumentowano, że żadna z wartości wskaźnikowych nie przekracza wartości 1.

8. Oświadczenie.

Wyniki badania odnoszą się wyłącznie do badanego obiektu.

Bez pisemnej zgody sprawozdanie nie może być powielane inaczej, jak tylko w całości.

Uwagi i zastrzeżenia przyjmowane są w formie pisemnej w ciągu 14 dni od daty otrzymania sprawozdania.

9. Spis załączników.

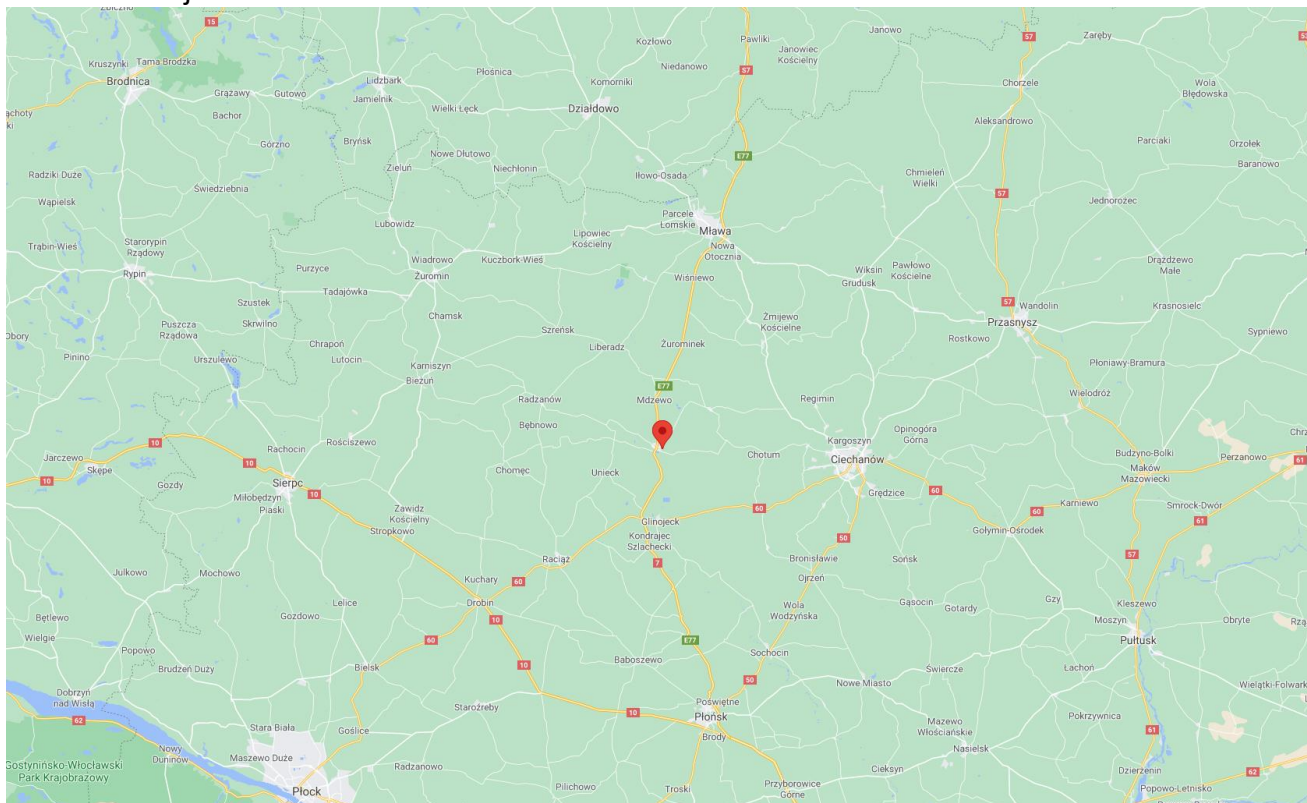
Zał. 1. Lokalizacja obiektu.

Zał. 2. Widok pionów pomiarowych

Zał. 3. Załączniki graficzne.

Koniec sprawozdania

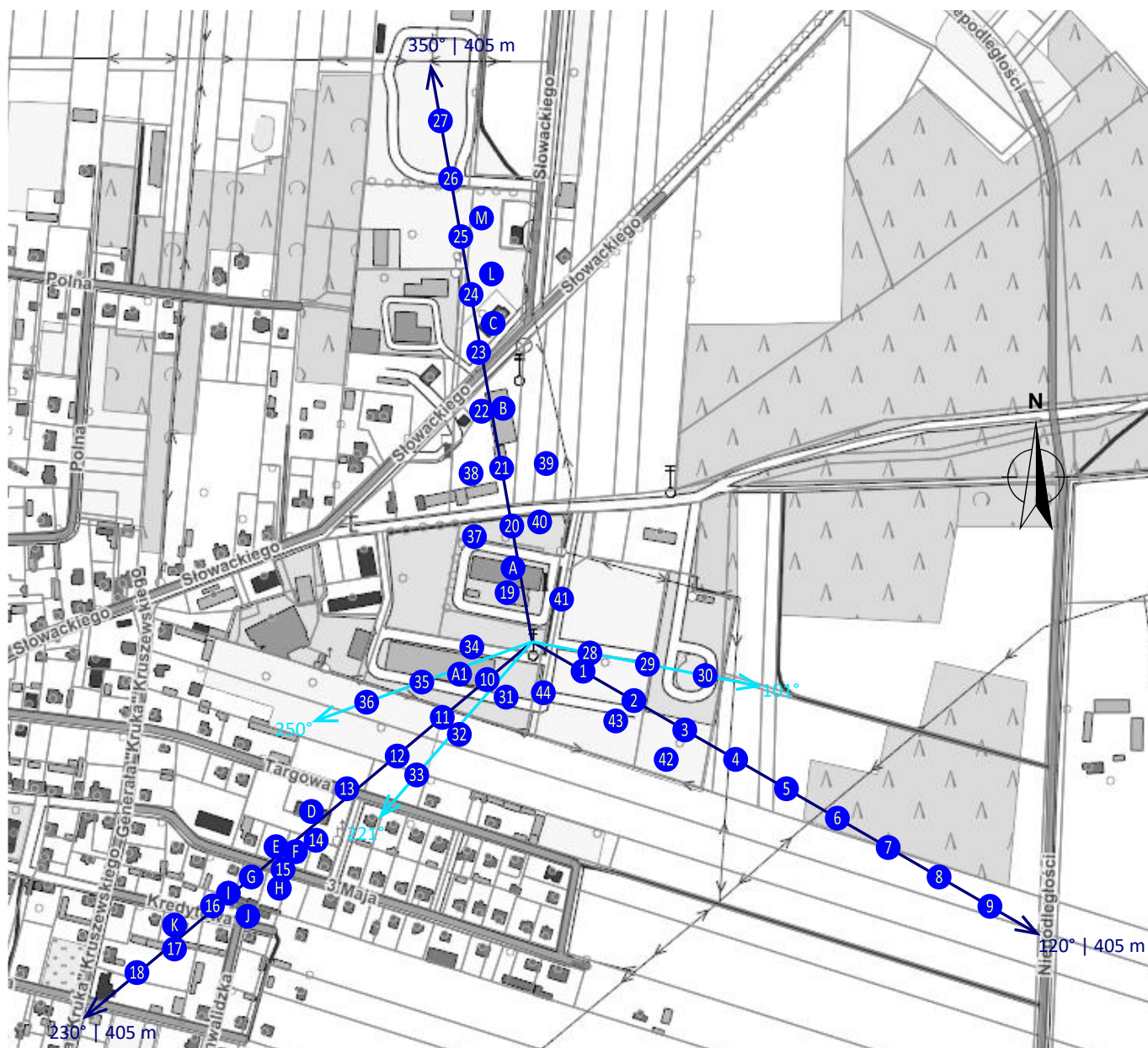
Załącznik 1. Lokalizacja obiektu





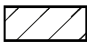



województwo: mazowieckie

Współrzędne geograficzne	
długość:	E: 20° 17' 40,5"
szerokość:	N: 52° 53' 39,4"

Załącznik 2. Widok pionów pomiarowych



LEGENDA:

- | | | | |
|---|------------------------------------|---|--|
|  | inna instalacja radiokomunikacyjna |  | punkt pomiarowy z poprawką pomiarową podaną przez operatora |
|  | brak dostępu |  | punkt pomiarowy będący w zasięgu innych instalacji radiokomunikacyjnych z poprawką pomiarową 2,0 |
| | |  | antena sektorowa |
| | |  | antena radioliniowa |

Odległość, do której zostały wykonane pomiary mierząc od instalacji antenowej wynosi min. 405 m.

Skala: 1:5600

Załącznik 3. Załączniki graficzne.

